開削トンネルの縦断耐震設計における解析モデルの高度化に関する基礎的研究

正会員 〇八ツ元 仁, 小川 和花, 篠田 隆作, 崎谷 淨 阪神高速道路㈱ 日本シビックコンサルタント㈱ 正会員 山根 勝悟, 荒木 繁雄

開削トンネルやシールドトンネル等の地中構造物については, 耐震設計をトンネル軸直交方向(直交方 1. 目的 向)のみならず、トンネル軸方向(軸方向)の検討を行うことが一般的である。特に、近年における大規模地震の 入力地震動が大きくなっていることを踏まえると、これらの耐震設計の重要性は高まっている、構造諸元は横断方 向の耐震設計で決定されるため、縦断方向の耐震設計の重要性は見落とされがちであるが、開削トンネル等の RC 製地中構造物に必ず設ける構造継手の設置間隔はこの縦断方向の耐震設計により決定されるため、必要不可欠な設 計での検討項目となる. 縦断方向の耐震設計手法は, 文献 1)に示すように梁モデルを用いた広義の応答変位法(横 断方向の応答変位法では周面せん断力を作用させるため、厳密には異なる)を用いるが、この手法の場合、計算精 度に大きな影響を及ぼすのが地盤ばねの設定となる. 開削トンネルの場合, 構造物幅, 構造物高さが 10m を超える ことは珍しくない。しかし、解析モデルの中ではこの大きな躯体を梁要素という一本の線状要素でモデル化するた

め, 実際の構造物が接する地盤を 適切に評価するには工夫が必要と なる. ましてや, 互層地盤のよう に複雑に変化する地盤条件下では 躯体と接する地盤も変化すること から, その評価については慎重に 行う必要がある. 応答変位法の場 合、地盤の評価に直結するのが地

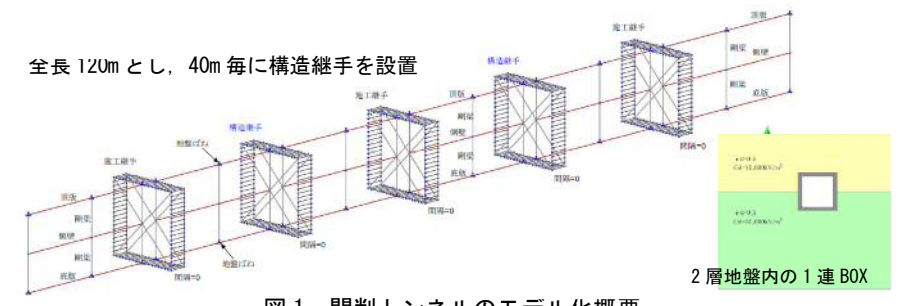


図1 開削トンネルのモデル化概要

盤ばね設定であり、この地盤ばねの設定方法が縦断 耐震設計の課題とも言える。これらを踏まえ、筆者 は過年度より解析精度の高度化を目指した検討を実 施してきている 2). 本稿では、文献 2)の中で提案し た解析モデルの精度を定量的に把握することを目的 に, 従来の縦断耐震設計で用いる解析モデルで求め た継手部における断面力の比較結果について報告を 行う.

2. 解析手法 文献 2)と同様に、解析対象は阪神 高速の標準的な構造諸元を持つ開削トンネルを対象 として、図1に示すように軸方向と直交方向を模擬 した2次元挙動を把握するための解析を行った. 躯 体の解析モデルは1本の梁要素(1本梁モデル)で モデル化した場合と、頂版・側壁・底版を各々梁要 素でモデル化し、一定の間隔で剛性が極めて高い仮 想梁要素で接続することで開削トンネルの高さ方向 を2次元空間内で模擬した3本梁でモデル化した場 合の2 モデルについて検討を実施した。ただし、1

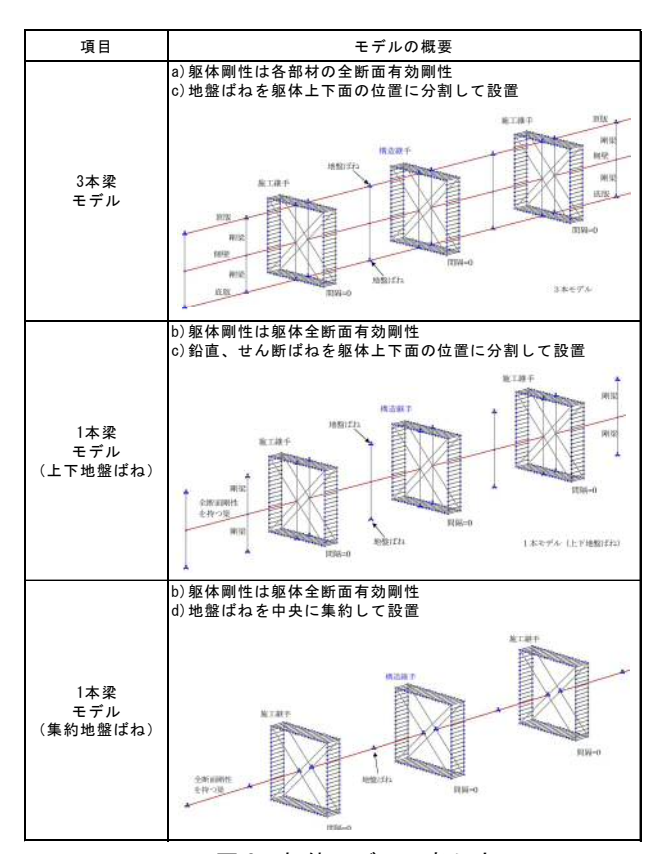


図2 躯体モデルの考え方

キーワード 縦断耐震設計,開削トンネル,高度化,梁ばねモデル

〒160-0004 大阪市港区 阪神高速道路㈱大阪建設部 TEL:06-3355-3442

本梁モデルについては、梁モデルに接続する地盤ばねの設定方法を、a) 頂版側・底版側の地盤ばねを梁要素の位置に集約して接続するケース、b) 梁要素に頂版及び底版の高さ位置まで達する仮想の剛部材要素を接続し、その剛部材要素の先端に頂版側・底版側の各地盤ばねを設置したケースの2ケースを検討することし、計3ケースの検討とした。図2に躯体部の解析モデルを示す。なお、頂版側、底版側の地盤ばねは文献2)に示す方法で求めることとする。

縦断方向の地震時作用力は、正弦波で模擬することとし、応答変位法の考えに基づき図3に示す強制変位波形を地盤ばね先端部に与えた.作用力は軸方向に2方向(圧縮・引張)、直交方向1方向とし、本検討では同時作用は行わず、個別に作用させることで各作用力の影響を評価した。また、トンネル深さ方向でせん断ひずみに差が生じることを想定し、頂版、中心、底版での作用変位量を異なる値とした。

3. 解析結果 継手部に生じた最大発生力 の 3 モデルの比較結果を**表 1** に示す. また,

図 4 には圧縮方向の作用力下での圧縮力の縦断方向分布を示す. 3 本梁モデルと1本梁(上下地盤)モデルはすべての発生断面力でほぼ同じ結果を示した. 1本梁(集約)モデルは直交方向では他の2モデルと同じ結果を示したが、圧縮・引張の2方向では15%程度過大に評価する結果となった. 圧縮・引張の2方向では地盤はねのせん断方向ばねが抵抗することになる。頂版・底版ばねを分離する上下地盤モデルの場合、せん断抵抗による偶力作用がより正確に求められるが、集約モデルの場合はそれが生じないため、このような差が生

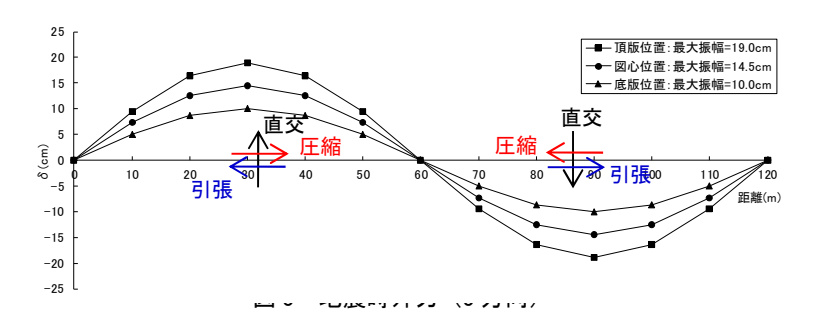


表1 継手部に生じる最大発生力の比較

(上段:圧縮,中段:引張,下段:直交)

	継手	継手	圧縮軸力	引張軸力	鉛直せん断力	鉛直面内曲げ
	圧縮量	引張量	Nemax	Ntmax	Svmax	Mvmax
	(mm)	(mm)	(kN)	(kN)	(kN)	(kN • m)
3本梁 合計値	-20	0	-121,673	3704	180	-10,451
1本梁 (上下地盤ばね)	-20	0	-121,672	3705	189	-10,418
1本梁 (集約地盤ばね)	-20	0	-141,114	3799	0	0

	継手	継手	圧縮軸力	引張軸力	鉛直せん断力	鉛直面内曲げ
	圧縮量	引張量	Nemax	Ntmax	Svmax	Mvmax
	(mm)	(mm)	(kN)	(kN)	(kN)	(kN·m)
3本梁 合計値	0	63.6	-22,224	22691	4,788	43,149
1本梁 (上下地盤ばね)	0	63.7	-22,223	22689	4,838	43,785
1本梁 (集約地盤ばね)	0	74.4	-25,202	25134	0	0

	継手	継手	圧縮軸力	引張軸力	水平せん断力	水平面内曲げ
	圧縮量	引張量	Nemax	Ntmax	Shmax	Mhmax
	(mm)	(mm)	(kN)	(kN)	(kN)	(kN • m)
3本梁 合計値	-20	40.4	-24,964	-	7,961	178,535
1本梁 (上下地盤ばね)	-20	40.4	-24,972	1	7,963	178,578
1本梁 (集約地盤ばね)	-20	40.2	-24,909	-	7,924	178,132

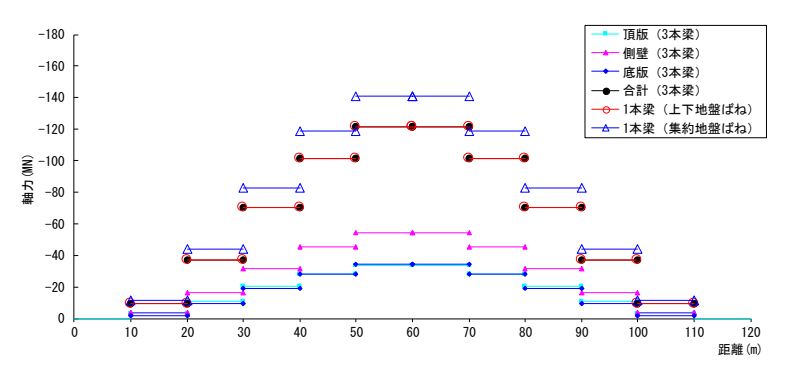


図 4 縦断方向の圧縮力の比較結果(圧縮方向作用力)

じるものと考えられる. 直交方向は地盤ばねの鉛直方向ばねが抵抗するが, この作用メカニズムについては3モデル間で差がないため, 断面力に差が生じなかったと考えられる.

4. まとめ 本検討の結果, 1 本梁モデルでも地盤ばねを頂版・底版位置に接続するような高度化したモデルは 3 本梁モデルと同等の解析精度を有することが明らかとなった.

参考文献 1) 大塚久哲, 新井雅之, 岩上憲一, 高野直道, 竹内幹雄, 橘善規, 節婦光一, 村井和彦, 楊光遠: 地中・基礎構造の耐震設計, 九州大学出版会, pp.37-41, 2001., 2) 八ツ元ら: 阪神高速大和川線開削トンネル部における縦断耐震検討, 第54回地盤工学シンポジウム, 2009.11.